

## 2. ЭМАНИРОВАНИЕ ЗА СЧЁТ ЭФФЕКТА ОТДАЧИ

### 2.1 Эманирование за счёт отдачи отдельных зёрен простой геометрической формы

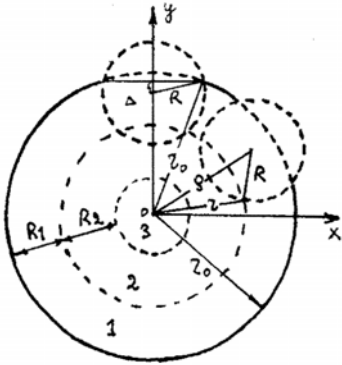
Благодаря энергии, выделяющейся при распаде радиоактивного ядра, дочерний изотоп приобретает импульс отдачи и в результате смещается на расстояние, равное пробегу атома отдачи в среде. За счет эффекта отдачи в атмосферу, окружающую образец выделяются атомы эманации, образовавшиеся в приповерхностном слое толщиной меньшей  $R$ , где  $R$  - пробег атомов отдачи в веществе. Для расчета скорости выделения радона за счет отдачи обычно из геометрических соображений вычисляют вероятность выхода атома инертного газа из зерна и интегрируют по поверхностному слою. Остановимся на некоторых примерах.

#### 2.1.1 Эманирование сферы

Сфера, МХ, Ц1. [7]. Рассмотрим цепочку радий-радон, причём радий равномерно распределён по объёму сферы. Пусть  $C_1, \lambda_1$  и  $C_2, \lambda_2$ : - концентрация и постоянная распада радия и радона соответственно,  $r_0$  - радиус зерна и  $R$  - пробег отдачи атомов радона. При низких температурах (диффузия радона по зерну отсутствует), распределение концентрации радона по толщине зерна сферической формы, равномерно меченного радием, определяется решением дифференциального уравнения:

$$\frac{\partial C_2}{\partial t} = \lambda_1 C_1 [1 - q(r)] - \lambda_2 C_2 \quad (4)$$

где  $q(r)$  - вероятность вылета, из зерна за счет эффекта отдачи атома эманации, образовавшегося в точке с координатой  $r$ .



**Рис. 1.** Модель сферического зерна в эманационном методе ( $r_0$  - радиус зерна,  $R_1$  - пробег  $^{224}\text{Ra}$ ,  $R_2$  - пробег  $^{220}\text{Rn}$  (В первом приближении  $R_1 = R_2 = R$ ))

Из геометрических соображений очевидно (см. **Рис.1**), что  $q(r)$  равна отношению поверхности шарового сегмента с высотой  $R - \Delta$  к общей поверхности сферы радиуса  $R$ :

$$q(r) = \frac{2\pi(R - \Delta)R}{4\pi R^2} = \frac{R - \Delta}{2R} \quad (5)$$

$$\text{где } \Delta = \frac{r_0^2 - R^2 - r^2}{2r}.$$

Таким образом, в приповерхностном слое зерна (слой 1),  $r_0 - R \leq r \leq r_0$ :

$$q(r) = \frac{2Rr - (r_0^2 - R^2) + r^2}{4Rr} \quad (6a)$$

в объеме зерна (слой №2):

$$q(r) = 0 \quad (6b)$$

Решение уравнения (4):

$$C_2 = \frac{\lambda_1}{\lambda_2 - \lambda_1} C_1^0 [1 - q(r)] (e^{-\lambda_1 t} - e^{-\lambda_2 t}) + C_2^0 e^{-\lambda_2 t} \quad (7)$$

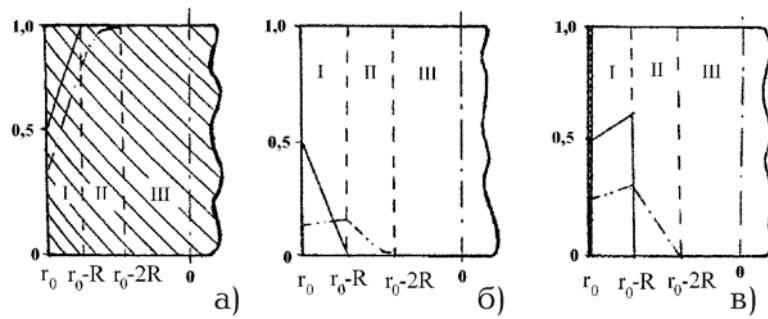
где  $C_2^0$  - начальная концентрация эманации.

При достаточно большом  $t$  член  $\exp(-\lambda_2 t)$  делается пренебрежимо малым по сравнению с  $\exp(-\lambda_1 t)$ , слагаемым  $C_2^0 \exp(-\lambda_2 t)$  также можно пренебречь. Тогда

$$C_2 = \frac{\lambda_1}{\lambda_2 - \lambda_1} [1 - q(r)] C_1^0 e^{-\lambda_1 t}$$

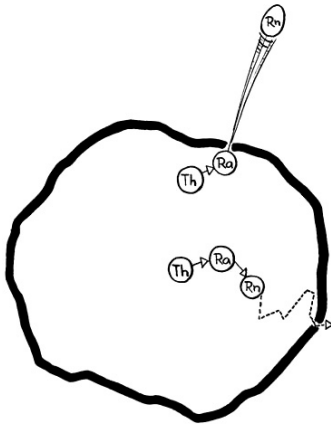
и так как  $C_1^0 e^{-\lambda_1 t} = C_1$  и  $\lambda_2 \gg \lambda_1$ , то

$$C_2(r) = \frac{\lambda_1 C_1}{\lambda_2} [1 - q(r)] C_1^0 e^{-\lambda_1 t} \quad (8)$$



**Рис. 2.** Распределение концентраций генетически связанных изотопов в различных вариантах эманационного метода.

- а) Сфера, метод Хана, МХ (равномерное распределение МИ), цепочка Th-Ra-Tn  
 б) Сфера, метод Линднера, МЛ, (введение радия в приповерхностный слой зерна за счет эффекта отдачи).  
 в) Сфера, метод пропитки, МП,  
 заштрихованная область - Th  
 сплошная линия - Ra  
 штрихпунктир - Tn



*В процессе эманирования участвуют два процесса отдачи: торий-радий и радий-радон, и один процесс диффузии – миграция радона. Обычно полагают, что диффузии материнских изотопов эманации не происходит, судьба дочерних продуктов распада эманации также никого не волнует.*

Распределение концентрации радона по радиусу сферы (**рис.2**):

$$C_2(r) = \frac{\lambda_1 C_1}{\lambda_2} \left\{ \frac{1}{2} + \frac{r_0^2 - R^2}{4Rr} - \frac{1}{4} \frac{r}{R} \right\}; \quad C_2(r) = \frac{\lambda_1 C_1}{\lambda_2}; \quad 0 \leq r \leq r_0 - R \quad (9)$$

Общее число атомов эманации, образующихся в зерне в единицу времени

$$G_R = \frac{4}{3} \pi r_0^3 C_1 \lambda_1 \quad (10)$$

Общее число атомов эманации, выделяющихся из зерна в единицу времени

$$J_R = C_1 \lambda_1 4\pi \int_{r_0-R}^{r_0} q(r) r^2 dr \quad (11)$$

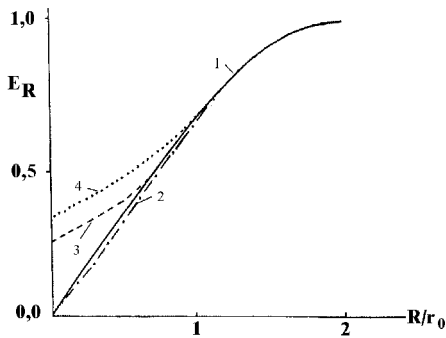
Эманлирующая способность за счет отдачи  $E_R$  (**рис. 3**)

$$E_R = \frac{J_R}{G_R} = \frac{3}{4} \frac{R}{r_0} - \frac{1}{16} \left( \frac{R}{r_0} \right)^3 \quad (12)$$

При  $R \ll r_0$ :

$$E_R = \frac{3}{4} \frac{R}{r_0} \quad (12a)$$

при  $R \ll r_0$ .



**Рис. 3.** Зависимость эманлирующей способности за счёт отдачи сферического зерна от радиуса зерна,  $r_0$ , и пробега атомов отдачи,  $R$   
 1 - метод Гана, цепочка Ra-Rn  
 2 - метод Гана, цепочка Th-Ra-Tn  
 3 - метод пропитки  
 4 - метод Линднера

Сфера МХ, Ц2. Рассмотрим теперь случай равномерного распределения тория-228-радия-224 и наличия двойной отдачи (радия и торона). Пусть  $C_0$  и  $\lambda_0$  концентраций и постоянная распада тория.  $R_1$  и  $R_2$  - пробег отдачи радия и радона в веществе (в первом приближении  $R_1 \approx R_2 = R$ ).

Распределение радия (**рис.2а**) описывается формулой (3), переписанной в виде:

$$C_1(r) = \frac{\lambda_0 C_0}{\lambda_1} \left\{ \frac{1}{2} + \frac{r_0^2 - R^2}{4Rr} - \frac{1}{4} \frac{r}{R} \right\}; \quad r_0 - R \leq r \leq r_0$$

$$C_2(r) = \frac{\lambda_0 C_0}{\lambda_1}; \quad 0 \leq r \leq r_0 - R \quad (13)$$

Распределение радона определяется выражением:

$$C_2(r) = \frac{\lambda_0}{\lambda_2 r^2} \int_{\alpha_1}^{\alpha_2} \rho^2 C_1(\rho) P_{\rho r} d\rho \quad (14)$$

где  $P_{\rho r}$  - вероятность пролета радия и радона из точки с координатой  $\rho$  в точку с координатой  $r$  (**Рис.1**) ( $P_{\rho r}$  - функция размытия концентрации за счет эффекта отдачи, определяется как сегмент сферы радиуса  $R$ , отсеченный сферой радиуса  $r$ ). Из геометрических соображений очевидно, что

$$P_{\rho r} = \frac{r}{2R\rho} \quad (15)$$

Параметры  $\alpha_1$  и  $\alpha_2$  определяются условиями на границе раздела областей (**Рис.2**). Подставив (15) в (14), получим:

$$C_2(r) = \frac{\lambda_0}{2\lambda_1 R r} \int_{\alpha_1}^{\alpha_2} C(\xi) d\xi \quad (16)$$

Область 1,  $r_0 - R \leq r \leq r_0$ :

$$C_2 = \frac{1}{2} + \frac{6r_0^2 - 2r_0 R - 7R^2}{24Rr} - \frac{r}{4R} \quad (17a)$$

Область 2,  $r_0 - 2R \leq r \leq r_0 - R$ :

$$C_2 = \frac{\lambda_0 C_0}{\lambda_2} \left\{ \frac{1}{2} + \frac{r_0^2}{8R^2} - \frac{r}{4R} - \frac{r^2}{24R^2} + \frac{6Rr_0^2 - 8R^3 - 2r_0^3}{24R^2 r} \right\} \quad (17б)$$

Область 3,  $0 \leq r \leq r_0 - 2R$ :

$$C_2 = \frac{\lambda_0 C_0}{\lambda_2} \quad (17в)$$

Поток атомов радона из зерна;

$$J = 4\pi\lambda_0 \int_{r_0-R}^{r_0} q(r) C_1(r) r^2 dr \quad (18)$$

С учетом уравнений (6а) и (13) имеем [4]:

$$J = \frac{4}{3} \lambda_0 C_0 \pi r_0^3 \left( \frac{R}{2r_0} - \frac{3R^2}{16r_0^3} - \frac{R^3}{10r_0^3} \right) \quad (19)$$

$$G = 4\pi\lambda_0 C_0 \int_0^{r_0-R} r^2 dr + 4\pi\lambda_0 C_0 \int_{r_0-R}^{r_0} \frac{2Rr + r_0^2 - R^2 - r^2}{4Rr} = \frac{4\pi}{3} r_0^3 \left( 1 - \frac{3R}{4r_0} + \frac{R^3}{16r_0^3} \right)$$

Откуда эманулирующая способность (**Рис. 3**)

$$E_R = \frac{\frac{R}{2r_0} - \frac{3R^2}{16r_0^3} - \frac{R^3}{10r_0^3}}{1 - \frac{3R}{4r_0} + \frac{R^3}{16r_0^3}} \approx \frac{R}{2r_0} \quad (20)$$

**Сфера, МЛ, Ц2.** При выдерживании образца в растворе тория-радия (толщина слоя раствора больше пробега атомов отдачи радона в воде - бесконечно толстый источник эманации), в твердое тело способны попасть атомы отдачи, родившиеся в приповерхностном слое раствора толщиной  $R^*$ , где  $R^*$  - пробег атомов отдачи в растворе. В результате в образце радий концентрируется в слое толщиной  $R_1$ , радон - в слое толщиной  $R_1 + R_2$  (**рис. 2б**).

Доля атомов отдачи от общего числа атомов, испущенных объёмом  $V$  источника, проходящих через единицу площади поверхности сферы:

$$B = Q \int_V \frac{\cos \varphi}{4\pi r^*{}^2} dv$$

где  $r^*$  - расстояние, отсчитываемое в растворе,  $Q$  - число атомов в единице объёма источника,

Область  $V$ , из которой атомы отдачи могут достигнуть поверхность сферы:

$$0 \leq \varphi \leq \bar{\varphi}; \quad r_1 \leq r^* \leq r_1 + r_2$$

$$\text{Здесь } r_1 = \sqrt{r_0^2 - r^2 \sin^2 \varphi} - r \cos \varphi; \quad r_2 = R^* \left( 1 - \frac{r_1}{R} \right); \quad \cos \bar{\varphi} = \frac{r_0^2 - R^2 - r^2}{2Rr}.$$

Распределение атомов отдачи в сфере после окончания мечения:

$$f(r) = r^2 \frac{(r^2 B)}{\partial r}$$

Распределение радия в приповерхностном слое сферического зерна:

Область 1,  $r_0-R \leq r \leq r_0$ :

$$C_1 = \frac{R^*}{4R^2} \left\{ \frac{R^2 - r_0^2}{r} + 2R + r \right\} \frac{C_0 \lambda_0}{\lambda_1} \quad (21a)$$

Будем полагать, что  $R^*=R$ , тогда

$$C_1 = \frac{\lambda_0 C_0}{\lambda_1} [2Rr - (r_0^2 - R^2) + r^2] \quad (21б)$$

Области 2 и 3:

$$C_1 = 0 \quad (22)$$

Распределение концентрации радона по срезу образца (**Рис.2б**):

Область 1,  $r_0-R \leq r \leq r_0$ :

$$C_2 = \frac{\lambda_0 C_0}{8\lambda_2 r} \left( r_0 + \frac{R}{3} \right) \quad (23a)$$

Область 2,  $r_0-2R \leq r \leq r_0-R$ :

$$C_2 = \frac{\lambda_0 C_0}{24\lambda_2 R^2 r} \left\{ r^3 + 6Rr^2 - 3(r_0^2 - 4R^2)r + (8R^3 - 6r_0^2 R + 2r_0^3) \right\} \quad (23б)$$

Область 3,  $0 \leq r \leq r_0-2R$ :

$$C_2 = 0 \quad (23в)$$

Поток атомов отдачи и скорость образования эманации:

$$J_R = \frac{\pi C_0 \lambda_0}{4} \left( \frac{4}{3} R r_0^2 + R^2 r_0 + \frac{R^3}{5} \right)$$

$$G = C_0 \lambda_0 \pi \left\{ R r_0^2 - \frac{R^3}{12} \right\}$$

Эмануирующая способность (**Рис.3**)

$$E_R = \frac{\frac{1}{3} + \frac{R}{4r_0} + \frac{1}{20} \left( \frac{R}{r_0} \right)^2}{1 - \frac{1}{12} \left( \frac{R}{r_0} \right)} \approx \frac{1}{3} + \frac{R}{4r_0} \quad (24)$$

Сфера, МП, Ц2. Пусть  $C_0$  (атом/см<sup>2</sup>) - распределение тория по поверхности зерна (тонкий слой толщиной  $\Delta r_0$ ). Тогда  $r_2 = \frac{r_0 \Delta r_0}{\sqrt{r_0^2 - r^2 \sin^2 \varphi}}$  и распределение радия, возникающее за счет отдачи (**Рис. 2**):

Область 1,  $r_0-R \leq r \leq r_0$

$$C_1 = \frac{\lambda_0 C_0 r_0}{\lambda_2 r}$$

Области 2 и 3,  $0 \leq r \leq r_0-R$

$C_1 = 0$

Распределение радона (**рис.2в**):

Область 1,  $r_0-R \leq r \leq r_0$

$$C_2 = \frac{\lambda_0 C_0}{\lambda_2 r} \frac{r_0^2}{4R^2}$$

Область 2,  $r_0-2R \leq r \leq r_0-2R$

$$C_2 = \frac{\lambda_0 C_0 r_0 (r - r_0 + 2R)}{4\lambda_1 R^2 r}$$

Область 3,  $0 \leq r \leq r_0-R$

$C_2 = 0$

Скорости выделения и образования эманации:

$$J = \frac{\lambda_0 C_0 r_0}{2} \left( r_0 + \frac{R}{3} \right)$$

$$G = \lambda_0 C_0 (2Rr_0 - R^2)$$

Эмануирующая способность сферического зерна за счет отдачи при введении материнского изотопа эманации методом пропитки

(**Рис.3**):

$$E_R = \frac{1 + \frac{R}{3r_0}}{4 \left(1 - \frac{R}{2r_0}\right)} \approx \frac{1}{4} \quad (25)$$

### 2.1.2 Эманирование пластины

Пластина, МХ, Ц1. В случае пластины, равномерно меченной радием, вероятность попадания атома отдачи, вылетающего из точки с координатой  $\xi$  в точку с координатой  $x$  (функция размытия):

$$P_{x,\xi} = \frac{1}{2R} \quad (26)$$

Используя рассмотренную выше методику, получим для эманирующей способности пластины толщиной  $H \geq 2R$ :

$$E_R = \frac{R}{2H} \quad (27)$$

Пластина, МХ, равномерное распределение радия, Ц2. Пусть торий-228 равномерно распределён по объёму пластины ( $H \geq 2R$ ) и  $R_1=R_2=R$ .

Распределение радия:

$$C_{Ra}(x) = \begin{cases} \frac{\lambda_0 C_0}{\lambda_1} \left( \frac{1}{2} + \frac{x}{2R} \right); & 0 \leq x \leq R \\ \frac{\lambda_0 C_0}{\lambda_1}; & R \leq x \leq H - R \\ \frac{\lambda_0 C_0}{\lambda_1} \left( \frac{1}{2} - \frac{x}{2R} \right); & H - R \leq x \leq H \end{cases} \quad (28)$$

Распределение радона:

$$C_{Rn}(x) = \begin{cases} \frac{\lambda_0 C_0}{\lambda_2} \frac{1}{2R} \left( \int_0^R \left( \frac{1}{2} + \frac{\xi}{2R} \right) d\xi + \frac{1}{2R} \int_R^{x+R} d\xi \right) = \frac{\lambda_0 C_0}{\lambda_2} \left( \frac{3}{8} + \frac{x}{2R} \right); & 0 \leq x \leq R; \\ \frac{\lambda_0 C_0}{\lambda_2} \frac{1}{2R} \left( \int_{x-R}^R \left( \frac{R+\xi}{2R} \right) d\xi + \frac{1}{2R} \int_R^{x+R} d\xi \right) = \left( \frac{1}{2} + \frac{x}{2R} - \frac{x^2}{8R^2} \right); & R \leq x \leq 2R; \\ \frac{\lambda_0 C_0}{\lambda_2} \int_{x-R}^{x+R} dx = \frac{\lambda_0 C_0}{\lambda_2}; & 2R \leq x \leq H - 2R \\ \frac{\lambda_0 C_0}{\lambda_2} \frac{1}{2R} \left( \int_{x-R}^{H-2R} \left( \frac{1}{2} \right) d\xi + \frac{1}{2R} \int_{H-2R}^{H-R} \frac{1}{2} d\xi + \int_{H-R}^{x+R} \frac{(H+R-\xi)d\xi}{2R} \right) = \\ = \frac{\lambda_0 C_0}{\lambda_2} \left( 1 + \frac{H-x}{R} - \frac{(H-x)^2}{4R^2} \right); & H - 2R \leq x \leq H - R; \\ \frac{\lambda_0 C_0}{\lambda_2} \frac{R}{2} \int_{x-R}^{H-R} d\xi + \frac{1}{2R} \int_{H-R}^H C_1(\xi) d\xi = \frac{\lambda_0 C_0}{\lambda_2} \left( \frac{H-x}{2R} + \frac{3}{8} \right); & H - R \leq x \leq H. \end{cases} \quad (29)$$

Потоки радона за счёт отдачи с обеих поверхностей пластины:

$$J_{R,0} = J_{R,H} = \int_{H-R}^H \lambda_1 C_1(\xi) d\xi = \lambda_0 C_0 \int_{H-R}^H \frac{R+H-x}{2R} \frac{R+x-H}{2R} dx = \frac{\lambda_0 C_0 R}{6} \quad (30)$$

Скорость генерации радона:  $G = \lambda_0 C_0 \left( H - \frac{R}{2} \right)$

Эманирующая способность пластины за счёт отдачи:

$$E_R = \frac{R}{3 \left( H - \frac{R}{H} \right)} \approx \frac{R}{3H} \quad (31)$$

В более общем случае  $R_1 \neq R_2$  ( $R_1 < R_2$ ,  $R_2 = 1,07R_1$ ).

Тогда распределение радона:

$$C_2(x) = \begin{cases} \frac{1}{2R_2} \int_0^{R_1} \left( \frac{1}{2} + \frac{\xi}{2R_1} \right) d\xi + \frac{1}{2R_2} \int_{R_1}^{x+R_2} d\xi = \frac{1}{2} - \frac{1}{8} \frac{R_1}{R_2} + \frac{x}{2R_2}; & 0 \leq x \leq R_1 \\ \frac{1}{2R_2} \int_{x-R_2}^{R_1} \frac{R_1 + \xi}{2R_1} d\xi + \frac{1}{2R_2} \int_{R_1}^{x+R_2} d\xi = \frac{3}{4} - \frac{1}{4} \frac{R_1}{R_2} + \frac{x}{8R_1} + \frac{3x}{8R_2} - \frac{x^2}{8R_1R_2}; & R_1 \leq x \leq R_1 + R_2 \end{cases} \quad (32)$$

и т.п.

$$E_R(R_1, R_2) = \frac{6R_2^2 - 3R_1R_2 + R_1^2}{6R_2(2H - R_1)} \quad (29)$$

В нашем конкретном случае  $R_2=1,07R_1$  и  $H=10R_1$ ,  $H=10R_1$ .

Для тонкой пластинки  $H < 2R$ ,  $C_2 = \frac{H^2}{4R^2}$ , поток

$$J_R = \lambda_0 C_0 \int_0^H C_1(\xi) q(\xi) d\xi = \frac{\lambda_0 C_0}{2R} \int_0^H \frac{1}{2} \left( 1 - \frac{\xi}{R} \right) d\xi = \frac{\lambda_0 C_0 H^2}{4R} \left( 1 - \frac{H}{2R} \right) \quad (33)$$

$$G = \frac{H}{2R} \int_0^H d\xi = \lambda_0 C_0 \frac{H^2}{2R} \quad (34)$$

Эманирующая способность (для случая  $R_1=R_2=R$ ):

$$E_R = 1 - \frac{H}{2R} \quad (35)$$

**Дать рисунки.**

Пластина: МЛ, Ц2. При введении МИ в пластину за счет энергии отдачи из Th-Ra раствора, распределение радия в приповерхностном слое и в объёме материала:

$$C_1 = \begin{cases} \frac{\lambda_0 C_0}{\lambda_1 2R_1} \int_{x-R}^0 d\xi = \frac{\lambda_0 C_0}{\lambda_1} \left( \frac{1}{2} - \frac{x}{2R} \right); & 0 \leq x \leq R \\ 0; & R \leq x \leq H - R \end{cases} \quad (36)$$

Распределение радона:

$$C_2 = \begin{cases} \frac{\lambda_0 C_0}{\lambda_2 2R} \int_0^R \frac{(R - \xi) d\xi}{2R} = \frac{\lambda_0 C_0}{8\lambda_2}, & \text{не зависит от } x; \quad 0 \leq x \leq R \\ \frac{\lambda_0 C_0}{\lambda_2 2R} \int_{x-R}^R \frac{(R - \xi) d\xi}{2R} = \frac{\lambda_0 C_0}{\lambda_2} \left( \frac{1}{2} - \frac{x}{2R} + \frac{x^2}{8R^2} \right), & R \leq x \leq 2R \end{cases} \quad (37)$$

Поток:

$$J = C_0 \lambda_0 \int_0^R \left( \frac{1}{2} - \frac{\xi}{2R} \right) \left( \frac{1}{2} - \frac{1}{2R} \right) d\xi = \frac{\lambda_0 C_0 R}{12R} \quad (38)$$

$$G = \frac{C_0 \lambda_0}{2R} \int_0^R (R - \xi) d\xi = \frac{C_0 \lambda_0}{4} R \quad (39)$$

Эманирующая способность за счет отдачи  $E_R = \frac{1}{3}$ .

Если  $R_1 \neq R_2 \neq R^*$ , то

$$C_{Ra} = \frac{1}{2R_1} \int_{x-R^*}^0 d\xi = \frac{1}{2} \frac{R^*}{R_1} - \frac{1}{2R_1} \quad (40)$$

Распределение радона:

$$C_2 = \begin{cases} \frac{C_0 \lambda_0}{\lambda_2} \frac{1}{2R_2} \int_0^{R_1} \frac{R^* - \xi}{2R_1} d\xi = \frac{C_0 \lambda_0}{4R_2} \left( R^* - \frac{R_1}{2} \right); & 0 \leq x \leq R \\ \frac{C_0 \lambda_0}{\lambda_2} \frac{1}{R_2} \int_{x-R_2}^{R_1} \left( \frac{R^* - \xi}{2R_1} \right) d\xi = \frac{1}{4R_1 R_2} \left\{ R^* (R_1 + R_2) - (R_1 + R_2) + \frac{x^2}{2} - \frac{R_2^* - R_1^2}{2} \right\}; & 2R \leq x \leq H - R \end{cases} \quad (41)$$

Эманирующая способность за счёт отдачи:

$$E_R = \frac{6R^* R_2 - 3R_1 R_2 - 3R_1 R^* + 2R_1^2}{6R_1 R_2 (2R^* - R_1)} \quad (42)$$

Пластина МП, Ц2. Если торий-228 равномерно распределён в приповерхностном слое толщиной  $d \leq R$ , то

$$\text{распределение радия: } C_1(x) = \begin{cases} \frac{d}{2R} \frac{\lambda_0 C_0}{\lambda_1}, \text{ не зависит от } x, & 0 \leq x \leq d \\ \frac{\lambda_0 C_0}{\lambda_1} \frac{d-x+R}{2R}; & d \leq x \leq d+R \\ 0; & d+R \leq x \leq H-d-R \\ \frac{\lambda_0 C_0}{\lambda_1} \frac{x+R-H+d}{2R}; & H-d-R \leq x \leq H-d \\ \frac{\lambda_0 C_0}{\lambda_1} \frac{d}{2R} & \end{cases} \quad (43)$$

Распределение радона:

$$C_2(x) = \begin{cases} \frac{\lambda_0 C_0}{\lambda_2} \left( \frac{1}{2R} \int_0^d \frac{d}{2R} d\xi + \frac{1}{2R} \int_d^{x+R} \frac{d+R-\xi}{2R} d\xi \right) = \frac{\lambda_0 C_0}{\lambda_2 4R^2} \left( dx + \frac{R^2}{2} - \frac{x^2}{2} + \frac{d^2}{2} \right); & 0 \leq x \leq d \\ \frac{\lambda_0 C_0}{\lambda_2} \frac{1}{2R} \int_{d-R}^d \frac{d}{2R} d\xi + \int_d^{d+R} \frac{d-\xi+R}{4R^2} d\xi = \frac{\lambda_0 C_0}{\lambda_2} \left( \frac{1}{8} + \frac{d(d-x+R)}{4R^2} \right); & d \leq x \leq d+R \\ \frac{\lambda_0 C_0}{\lambda_2} \int_{x-R}^{d+R} \frac{d-\xi+R}{4R^2} d\xi = \frac{\lambda_0 C_0}{\lambda_2 4R^2} \left( \frac{d^2}{2} + 2Rd - dx - 2Rx + 2R^2 + \frac{x^2}{2} \right); & d+R \leq x \leq d+2R \end{cases} \quad (44)$$

Поток:

$$J = \lambda_0 C_0 \left( \int_0^d \frac{d}{2R} \frac{1}{2} \left( 1 - \frac{x}{R} \right) d\xi + \int_d^R \frac{d+R-\xi}{2R} \frac{1}{2} \frac{R-\xi}{R} d\xi \right) = \frac{1}{4R} \left( d^2 - \frac{4}{3} \frac{d^3}{R} + \frac{Rd}{2} + \frac{R^2}{3} \right) \quad (45)$$

$$G = \int_0^d \frac{d}{2R} d\xi + \int_d^{d+R} \frac{d+R-\xi}{2R} d\xi = \frac{d^2}{2R} + \frac{R}{4} \quad (46)$$

Эманулирующая способность:

$$E_R = \frac{2+3y+6y^2-8y^3}{6(1+2y^2)} \approx \frac{1}{3} + \frac{d}{2R}, \text{ где } y = \frac{d}{R} \quad (47)$$

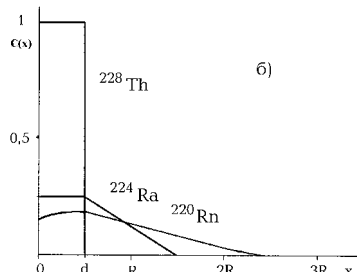
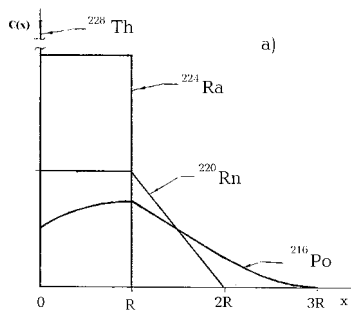
**Проверить!**

Пластина МП, Ц2. Если торий-228 сконцентрирован на поверхности пластины ( $d \rightarrow 0$ ) и радий забивается в нее за счет эффекта отдачи, то его распределение:

$$C_1 = \frac{\lambda_0 C_0}{\lambda_1} \frac{1}{2R}; \quad 0 < x < R_{Ra} \quad (48)$$

Распределение концентрация радона:

$$C_2 = \begin{cases} \frac{\lambda_0 C_0}{\lambda_2} \frac{1}{2R} \int_0^R \frac{1}{2R} d\xi = \frac{\lambda_0 C_0}{\lambda_2} \frac{1}{4R}; & 0 \leq x \leq R_{Rn} \\ \frac{\lambda_0 C_0}{\lambda_2} \frac{1}{2R} \int_{x-R}^R \frac{1}{2R} d\xi = \frac{\lambda_0 C_0}{\lambda_2} \frac{1}{2R} \left( 1 - \frac{x}{2R} \right); & R_{Ra} < x < R_{Ra} + R_{Rn} \end{cases} \quad (49)$$



$$J = \frac{\lambda_0 C_0}{2R} \int_0^R \frac{R-\xi}{2R} d\xi = \frac{\lambda_0 C_0}{8}; \quad G = \frac{\lambda_0 C_0}{2} \quad (50)$$

Эманулирующая способность такой пластины:  $E_R = \frac{1}{4}$ . В случае неравенства пробегов:

$$E_R = \frac{1}{2} - \frac{R_1}{4R_2} \quad (51)$$

Некоторые типичные концентрационные профили радона, возникающие при различных способах введения МИ эманации представлены на **Рис. 4**.

**Рис.4.** Концентрационные профили радионуклидов, возникающие при разных способах мечения образца в эманационном методе.

А) Торий-228 адсорбирован на поверхности пластины;

Б) Торий равномерно метит приповерхностный слой толщиной  $d$

Привести в соответствие с формулами – где начало координат?

Аналогичным способом можно получить и другие формулы для эманирования за счет отдачи. Некоторые из них приведены в Табл.1.

Замечание. Попробуем вывести формулы для концентрационных профилей, возникающие после отдачи любого ряда генетически связанных радионуклидов.

Рассмотрим ряд:  $A_1 \rightarrow A_2 \rightarrow \dots A_i \rightarrow \dots A_n$ . Пробеги у всех разные, но для начала мы будем считать их одинаковыми.

В бесконечной среде для  $i+1$ -го изотопа в точке  $x$  имеем:

$$C_{i+1}(x) = \int_{x-R}^{x+R} P_{x,\xi} C_i(\xi) d\xi, \quad (52)$$

где для атома отдачи  $P_{x,\xi} = \frac{1}{2R}$ , а для остальных надо искать, особенно, если пробеги разные.

Конкретно для ториевой цепочки и метода пропитки пластины:

1) **Торий-228** находится на поверхности пластины  $H \gg R$  в виде  $\delta$ -функции (бесконечно тонкого слоя).

Мощность источника  $A = \lambda_1 C_1$ , причём размерность  $C_1$  [атом·см<sup>-2</sup>].

2) **Радий-224** оказывается в слое  $0 \leq x \leq R$ , его объёмная концентрация

$$C_2 = \frac{A}{\lambda_2} \frac{1}{2R} \text{ [атом·см}^{-3}\text{]}. \quad (53)$$

3) **Радон-220** располагается уже в трёх слоях:

$$\text{I. } 0 \leq x \leq R; \quad C = \frac{A}{\lambda_3 2R} \int_0^R \frac{1}{2R} d\xi = \frac{A}{\lambda_3} \frac{1}{4R} \quad (54a)$$

$$\text{II. } R \leq x \leq 2R; \quad C = \frac{A}{\lambda_3 2R} \int_{x-R}^R \frac{1}{2R} d\xi = \frac{A}{\lambda_3} \frac{2R-x}{4R^2} \quad (54b)$$

$$\text{III. } 2R \leq x \leq \infty; \quad C = 0.$$

4) **Полоний-216** располагается в четырёх слоях:

$$\text{I. } 0 \leq x \leq R; \quad C = \frac{A}{\lambda_4 2R} \left( \int_0^R \frac{1}{2R} \frac{1}{2} d\xi + \int_R^{x+R} \frac{2R-\xi}{2R 2R} d\xi \right) = \frac{A}{\lambda_4} \frac{R^2 + Rx - \frac{x^2}{2}}{4R^2} \quad (55a)$$

$$\text{II. } R \leq x \leq 2R; \quad C = \frac{A}{\lambda_4 2R} \left( \int_{x-R}^R \frac{1}{2R} \frac{1}{2} d\xi + \int_R^{2R} \frac{1}{2R} \frac{R-\xi}{2R} d\xi \right) = \frac{A}{\lambda_4} \frac{2R-x}{8R^2} \quad (55b)$$

$$\text{III. } 2R \leq x \leq 3R; \quad C = \frac{A}{\lambda_4 2R} \int_{x-R}^{2R} \frac{2R-\xi}{4R^2} d\xi = \frac{A}{\lambda_4} \frac{2R^2 - 6Rx + x^2}{16R^3} \quad (55b)$$

$$\text{IV. } 3R \leq x \leq \infty; \quad C = 0 \quad (55g)$$

Поток атомов отдачи из образца с одной из сторон пластины:

$$J = \int_0^R q(\xi) C(\xi) d\xi, \quad (56)$$

$$\text{где } q(\xi) = \frac{2\pi R(R-x)}{4\pi R^2} = \frac{R-x}{2R}$$

$$\text{Скорость образования эманации: } G = \int_0^R C(\xi) d\xi \quad (57)$$

$$\text{Эманующая способность: } E = \frac{J}{G} \quad (58)$$

$$\text{Пример: для радона } J_{Rn} = \frac{A}{2R} \int_0^R \frac{1}{2} \frac{R-\xi}{2R} d\xi = \frac{A}{16R}.$$

Чем больше пробег, тем меньше поток атомов отдачи из пластины (атомы отдачи замуровываются в глубине материала).

Если  $R_2 \neq R_3$ , причём  $R_3 > R_2$  (это важно, т.к. если  $R_3 < R_2$ , то интегралы надо брать от  $x-R_3$ ), то



$$C_2 = \frac{A}{\lambda_2} \frac{1}{2R_2} \quad (59)$$

$$I. C_3 = \frac{A}{\lambda_3} \frac{1}{4R_3} \quad (60a)$$

$$II. C_3 = \frac{A}{\lambda_3} \frac{R_2 + R_3 - x}{4R_2R_3} \quad (60b)$$

$$J_3 = \frac{A}{2R_2} \int_0^{R_2} \frac{R_3 - \xi}{2R_3} d\xi = \frac{A}{4R_3} \left( R_3 - \frac{R_2}{2} \right) \quad (61)$$

$$G = \frac{A}{2} \quad (62)$$

$$E_3 = \frac{1}{2} - \frac{R_2}{4R_3} \quad (63)$$

Пусть теперь торий-228 сосредоточен в приповерхностном слое толщиной  $d$ ,  $R_1=R_2=R_3=R$ .

$$1) \text{ Торий } 0 \leq x \leq d; \quad C_1 = \frac{A}{\lambda_1} [\text{атом} \cdot \text{см}^{-3}] - \text{гомогенное распределение, } A = \lambda_1 C_1$$

2) Радий

$$I. 0 \leq x \leq d; \quad C_2 = \frac{A}{\lambda_2} \frac{d}{2R} \quad (64a)$$

$$II. d \leq x \leq d+R; \quad C_2 = \frac{A}{\lambda_2} \int_{x-R}^d \frac{1}{2R} d\xi = \frac{A}{\lambda_2} \frac{d-x+R}{2R} \quad (64b)$$

$$III. d+R \leq x \leq \infty; \quad C_2 = 0 \quad (64b)$$

$$J_2 = A \int_0^d \frac{R-\xi}{2R} d\xi = A \frac{Rd - \frac{d^2}{2}}{2R} = \frac{Ad}{2} \left( 1 - \frac{d}{2R} \right) \quad (65)$$

$$E_2 = \frac{1}{2} \left( 1 - \frac{d}{2R} \right) \quad (66)$$

3) Радон

$$I. 0 \leq x \leq d; \quad C_3 = \frac{A}{\lambda_3 2R} \left( \int_0^d \frac{d}{2R} d\xi + \frac{A}{2R} \int_d^{x+R} \frac{d+R-\xi}{2R} d\xi \right) = \frac{A}{\lambda_3 4R^2} \left( dx + \frac{R^2}{2} - \frac{x^2}{2} + \frac{d^2}{2} \right) \quad (67a)$$

$$II. d \leq x \leq d+R; \quad C_3 = \frac{A}{\lambda_3 2R} \left( \int_{x-R}^d \frac{d}{2R} d\xi + \int_d^{d+R} \frac{d-x+R}{4R^2} dx \right) = \frac{A}{\lambda_3} \left( \frac{1}{8} + \frac{d(d-x+R)}{4R^2} \right) \quad (67b)$$

$$III. d+R \leq x \leq d+2R; \quad C_3 = \frac{A}{\lambda_3} \int_{x-R}^{d+R} \frac{d-x+R}{4R^2} dx = \frac{A}{\lambda_3 4R^2} \left( \frac{d^2}{2} + 2Rd - dx - 2Rx + 2R^2 + \frac{x^2}{2} \right) \quad (67b)$$

$$IV. d+2R \leq x \leq \infty; \quad C_4 = 0 \quad (67\Gamma)$$

$$J_3 = A \left( \int_0^d \frac{d}{2R} \frac{1}{2} \left( 1 - \frac{\xi}{R} \right) d\xi + \int_0^R \frac{d+R-\xi}{2R} \frac{1}{2} \frac{R-\xi}{R} d\xi \right) = \frac{A}{4R} \left( d^2 - \frac{d^3}{2R} + \frac{Rd}{2} - \frac{5}{6} \frac{d^3}{R} + \frac{R^2}{3} \right) \quad (68)$$

$$G_3 = \int_0^d \frac{d}{2R} d\xi + \int_d^R \frac{d+R-\xi}{2R} d\xi = \frac{d^2 + R^2}{4R} \quad (69)$$

$$E = \frac{2R^3 + 3dR^2 + 6d^2R - 8d^3}{6R(d^2 + R^2)} \quad (70)$$

Пусть теперь торий-228 сосредоточен на поверхности пластины в бесконечно тонком слое

$$1) \text{ Торий - слой } d=0, \quad C_1 = \frac{A}{\lambda_2} [\text{атом} \cdot \text{см}^{-2}]$$

$$2) \text{ Радий } 0 \leq x \leq R; \quad C_2 = \frac{A}{\lambda_2 2R} [\text{атом} \cdot \text{см}^{-3}]$$

3) Радон

$$I. 0 \leq x \leq R; \quad C_3 = \frac{A}{\lambda_3 2R} \int_{x-R}^R \frac{1}{2R} d\xi = \frac{A}{\lambda_3} \frac{2R-x}{4R^2} \quad (71a)$$

$$II. -R \leq x \leq 0; \quad C_3 = \frac{A}{\lambda_3} \frac{x+2R}{4R^2} \quad (71б)$$

4) Полоний

$$I. 0 \leq x \leq R; \quad C_3 = \frac{A}{\lambda_3 2R} \left( \int_{x-R}^0 \frac{1}{2R} \frac{2R}{2R} d\xi + \int_0^{x+R} \frac{1}{2R} \frac{2R-\xi}{2R} d\xi \right) = \frac{A(3R^2 - x^2)}{\lambda_3 8R^2} \quad (72a)$$

$$II. R \leq x \leq 2R; \quad C_3 = \frac{A}{\lambda_3} \int_{x-R}^{2R} \frac{1}{2R} \frac{2R-\xi}{2R} d\xi = \frac{A}{16R^3} (9R^2 - 6Rx + x^2) \quad (72б)$$

Анализ эффекта отдачи доказывает, что в случае равномерного распределения МИ отдача обедняет эманацией приповерхностные слои зерна и тем самым снижает чувствительность метода к твердофазным превращениям. В то же время эффект отдачи позволяет существенно расширить возможности эманационного метода, т.к. дает возможность метить радием материалы в которые его нельзя ввести методом сокристаллизации. Кроме того, эффект отдачи сглаживает неоднородное распределений МИ (некоторые примеры приведены на **Рис.5**).

Рассмотрим теперь особенности эманирования тонкой двусторонней пластины,  $H \leq R$ :

$$E_R = \frac{1}{2} \int_0^H A(x) x \int_x^R \frac{1}{\xi^2} d\xi dx \quad \text{где; } A(x) = \frac{f(x)}{\int_0^H f(x) dx} f(x) - \text{функция распределения материнского изотопа эманации.}$$

При равномерном распределении радия:

$$E_R = \frac{1}{2} \int_0^H \frac{x}{H} \int_x^R \frac{1}{r^2} dr dx \quad (73)$$

Суммарный поток атомов отдачи, выходящий из пластины толщиной  $H < R$  в обе стороны:

$$J = J_1 + J_2 = \lambda C \left( 1 - \frac{H}{2R} \right) \quad (74)$$

не зависит от вида распределения радия по толщине пластины.

**Рис. 5.** Примеры сглаживающего действия эффекта отдачи

а) Распределение МИ и продуктов его распада

б) Перераспределение радона между двумя пластинами 1 - Th-228; 2 - Ra-224; 3 - Rn-220

Введение материнского изотопа диффузионным методом. В этом методе пластина, с расположенным на её поверхности тонким слоем материнского изотопа, подвергается диффузионному отжигу при повышенных температурах. В результате происходит внедрение материнского изотопа в объём образца, причём в ходе диффузии падает эманирование за счёт отдачи. Если диффузионный отжиг проводили  $t$  часов, то

$$E_R = \frac{1}{\sqrt{\pi Dt}} \int_0^R e^{-\frac{x^2}{4Dt}} \left( 1 - \frac{x}{R} \right) dx \quad (75)$$

где величина  $\left( 1 - \frac{x}{R} \right)$  учитывает форм-фактор рассеяния.

После интегрирования получим:

$$\bar{E}_R = 2 \operatorname{erf} z_1 - \sqrt{\frac{2}{\pi}} \frac{1}{z_1} \left( 1 - e^{-\frac{z_1^2}{2}} \right) \quad (76)$$

где  $z_1 = \frac{R}{2\sqrt{Dt}}$

Таким образом, измерив  $E_R$  и зная время отжига и величину пробега, можно найти коэффициент диффузии радия (или тория) в образце (коэффициент диффузии радона определяется в ходе последующего эманационно – термического исследования).

### 2.1.3 Эманирование цилиндра

Дать арифметику

## 2.1.4 Эманирование куба

Дать арифметику

## 2.2 Эманирование за счёт отдачи отдельных зёрен с развитой поверхностью

Дать арифметику

## 2.3 Эманирование за счёт отдачи ансамбля зёрен

В случае ансамбля зёрен часть из которых по каким-то причинам осталась немеченой радием (или торием-радием), эффект отдачи вводит радиий в соседние зерна, вовлекая тем самым их в процесс эманирования. Это обстоятельство позволяет распространить формулы для эманирования, выведенные в предположении равномерно меченого зерна, на многие другие концентрационные профили тория.

До сих пор мы рассматривали эманирование отдельного зерна, тогда как реальные образцы высокодисперсных

порошков содержат множество зёрен. Математическое описание диффузии в такой системе существенно осложняется, т.к. помимо геометрии отдельного зерна необходимо учитывать геометрию образца в целом, потерю атомов отдачи, застревающих в соседних зёрнах, различия в коэффициентах диффузии эманации в зерне,  $D$ , и в порах,  $D_p$ , распределение зёрен по размерам и другие факторы.

Для определённости рассмотрим эманирование порошка – ансамбля зёрен одинаковой формы (сферы) и размеров, равномерно меченых радием. Выброшенный из зерна за счёт эффекта отдачи атом эманации может на своём пути проходить наполненные воздухом поры (промежуточные объёмы между зёрнами), пробег в которых много больше, чем в материале зерна. Если расстояния между зёрнами достаточно малы, то атом отдачи будет попадать в соседнее зерно и застревать в ней (если размеры зерна  $2r_0 > R$ ). Этот эффект сказывается при  $V_p/V_z < 1$ , где  $V_p$  – объём пор,  $V_z$  – объём зерна.

Для более детального анализа разделим общий пробег атомов отдачи на три части  $R = R_1 + R_2 + R_3$ , где  $R_1$  – пробег в исходном зерне,  $R_2$  – пробег в поре,  $R_3$  – пробег в соседнем зерне. Можно показать [11], что

$$R_2 = \frac{A_3}{A_n} * \frac{\rho_n}{\rho_3} R_1 \quad (77)$$

где  $A$  – приведенный атомный вес ( $A = \frac{\bar{A}}{B}$ ),  $B$  – тормозная способность  $\bar{A}$  – средний атомный вес вещества,  $\rho$  – плотность вещества.

Эманлирующая способность ансамбля зёрен (т.е. доля атомов отдачи эманации, пробег которых заканчивается непосредственно в свободном газовом пространстве или открытой поре, наполненной воздухом):

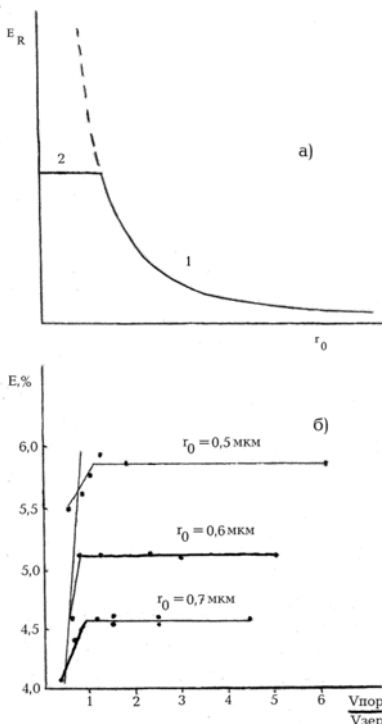
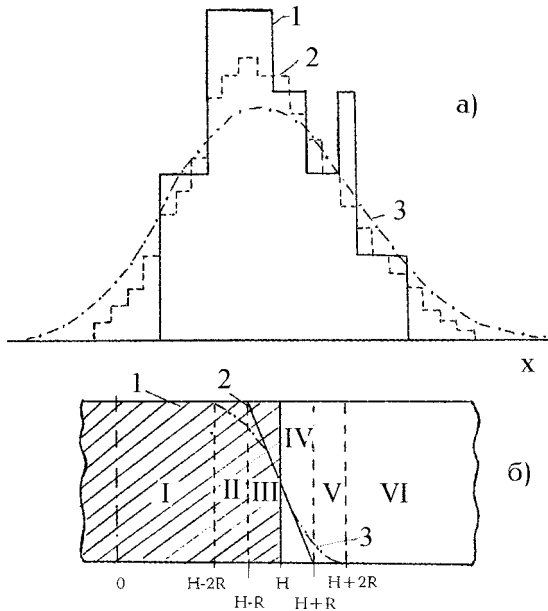
$$E_{R,a} = \frac{3}{4} z \frac{A_3}{A_n} * \frac{\rho_n}{\rho_3} \quad (78)$$

где  $z$  – фактор упаковки зёрен, зависящий от геометрической формы отдельного зерна, способа упаковки зёрен и расстояния между зёрнами (Для кубических зёрен  $z = 2 \frac{V_z}{V_p}$ ). Обычно  $1 < z < 10$ .

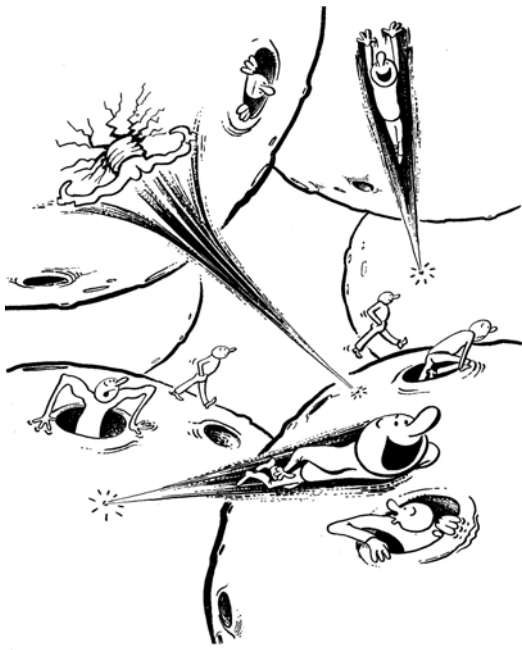
Зависимость  $E_R$  от размеров отдельного зерна, которая в случае отдельного зерна носила монотонный характер, в случае ансамбля зёрен кубических зёрен, расположенных в шахматном порядке, следует закону  $1/r_0$  только для больших  $r_0$ , а при  $r_0 < r_{крит}$  перестаёт зависеть от размера зерна (см. **Рис. 6**). Максимально возможная ЭС за счёт отдачи в случае ансамбля зёрен (высокодисперсных порошков) достаточно низка (~1%).

**Рис. 6.** Эманирование за счёт отдачи ансамбля зёрен

а) Теория  
б) Эксперимент ( $\text{BaCO}_3$ )



**Отдача косвенного действия.** Рассмотрим теперь судьбу атомов, попавших в соседние зерна (максимально возможная глубина проникновения равна  $R_3$ ).



Большая часть этих атомов застревает в них и распадается, однако некоторое количество может выделиться наружу и, *При рассмотрении эманирования за счёт отдачи ансамбля зёрен возникает понятие эманирования косвенного действия. При эманировании часть атомов покидает зерно и оказывается в атмосфере, окружающей образец (на свободе), часть атомов радона вылетает из зерна, меченого материнским изотопом и внедряется в соседнее зерно, где или погибает, или с трудом выбирается наружу (по цепочке дефектов ими самими и созданными) и десорбируются (именно эти атомы и ответственны за эманирование косвенного действия. Некоторые атомы радона путём поверхностной диффузии перемещаются с меченых зёрен порошка на немеченые.*

следовательно, будет зарегистрировано. Первая возможность выделения основана на быстрой диффузии по воронке отдачи, вещество в которой расплавилось за счет энергии, выделившейся при торможении атома отдачи. Однако расчеты доказывают, что затвердевание такого термического клина происходит гораздо быстрее, чем успеет пройти диффузия в

расплаве. Другая возможность связана с обратной диффузией по треку отдачи, вещество в котором разрушилось или стало сильно дефектным [12, 13]. Диффузия эманации по таким дефектным областям, прилетающим к стабилизированному атому отдачи, может происходить с большими скоростями. Для количественной характеристики процесса вводится понятие эманлирующей способности косвенного действия  $E_{R,i}$ , [14], под которой понимают долю атомов эманации, пробег отдачи которых заканчивается в тех областях дисперсионной системы, из которых возможна быстрая диффузия в свободное газовое пространство. Тогда общая эманлирующая способность;

$$E_R = E_{R,a} + E_{R,i} \quad (79)$$

где  $E_{R,a}$  - ЭС прямого действия (рассмотрена выше),  $E_{R,i}$  - ЭС косвенного действия.

Как уже упоминалось, эманирование за счет отдачи прямого действия не зависит от температуры. ЭС косвенного действия, также как и диффузия в порах, зависит от температуры до закону  $D \approx \sqrt{T}$ , т.е.  $\lg D = 0,5 \lg T + \text{Const}$ . Таким образом, критерием дополнительной роли диффузии в сильно нарушенных местах является появление прямолинейной зависимости в координатах  $\lg D - \lg T$  с углом наклона  $27^\circ$  ( $\text{tg} \alpha = 1/2$ ). Подобный подход позволяет объяснить возникновение очень низких значений энергий активации эманирования при низких температурах, которые иногда наблюдаются экспериментально, а также появление значений ЭС за счет отдачи высокодисперсных порошков, существенно превышающих 1 %.

В случае эманирования порошка (ансамбля зёрен), зёрна которого неравномерно мечены (т.е. одни зёрна содержат материнский изотоп эманации, другие нет), отдача вводит материнский нуклид в немеченые зёрна, смежные с мечеными, тем самым вовлекая их в процесс эманирования. В случае пластин плотно прижатых друг другу, она из которых мечена торием, другая нет, после установления радиоактивного равновесия, распределение радия имеет вид:

$$C_{Ra} = \begin{cases} \frac{\lambda_0 C_0}{\lambda_1} \frac{R+H-x}{2R}; & H-R \leq x \leq H+R \\ \frac{\lambda_0 C_0}{\lambda_1}; & -\infty \leq x \leq H-R \\ 0; & H+R \leq x \leq \infty \end{cases} \quad (80)$$

Распределение радона:

$$C_{Rn} = \begin{cases} \frac{\lambda_0 C_0}{\lambda_2} \int_{x-R}^{H+R} \frac{R+H-\xi}{2R} d\xi = \frac{\lambda_0 C_0}{2\lambda_2} \left( 1 + \frac{H-x}{R} + \left( \frac{H-x}{4R^2} \right)^2 \right); & H-2R \leq x \leq H-R; H-R \leq x \leq H \\ \frac{\lambda_0 C_0}{\lambda_2 2R} \int_{x-R}^{x+R} \frac{1}{4R^2} (H+R-\xi) d\xi = \frac{\lambda_0 C_0}{2\lambda_2} \left( 1 + \frac{H-x}{R} + \frac{(H-x)^2}{4R^2} \right); & H \leq x \leq H+R; H+R \leq x \leq H+2R \\ 0; & H+2R \leq x \leq \infty \end{cases} \quad (81)$$